

УДК 532.525.013.3:537.84

© 1995 г. К. В. БРУШЛИНСКИЙ, Т. А. РАТНИКОВА

## ЭФФЕКТ ХОЛЛА В МГД-МОДЕЛИ ТЕЧЕНИЯ ПЛАЗМЫ В КАНАЛАХ

В расчетах осесимметричного течения плазмы в коаксиальном канале с собственным азимутальным магнитным полем, проведенных в МГД-модели с учетом эффекта Холла, получен стационарный режим течения с квазирадialным электрическим током и неэквипотенциальными границами. В канале современного квазистационарного сильноточного плазменного ускорителя найденный режим описывает течение в ядре потока вне тонких приэлектродных слоев. Даны оценки холловских поправок, относящихся к этим слоям.

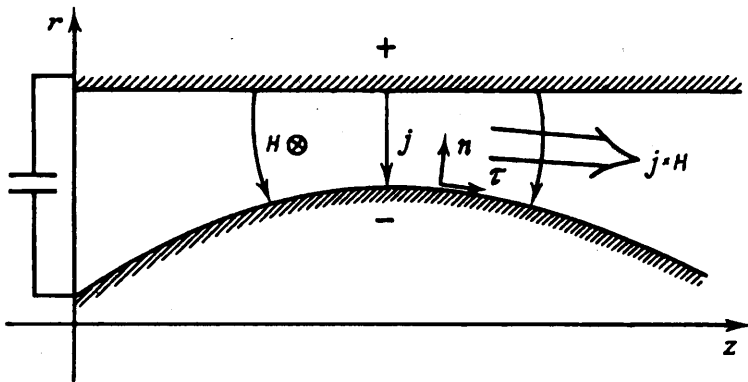
Теория, математическое моделирование и расчет течений плотной горячей плазмы в каналах типа сопла [1—4] играют существенную роль в разработке современного варианта квазистационарного сильноточного плазменного ускорителя [5—9].

На фиг. 1 представлена схема ускорителя, геометрия которого соответствует существующим установкам [7, 8]. Канал образован двумя коаксиальными электродами, ток между которыми создает азимутальное магнитное поле и, взаимодействуя с ним, ускоряет плазму в направлении оси  $Z$ . Течение плазмы в канале можно считать осесимметричным и стационарным, так как время разряда на 1—2 порядка превосходит пролетное время системы.

Свойства течений исследованы главным образом в приближении магнитной газодинамики. Некоторые общие положения и оценки, лежащие в основе теории магнитоплазменного сопла Лавалья [1, 2, 10], получены аналитически (или в квадратурах) с помощью приближенных моделей — квазиодномерной или «плавного канала». Значительная же часть результатов, содержащих, в частности, и количественные закономерности, зависимость от параметров, анализ картины течения в целом, получены в процессе численного решения двумерных уравнений МГД в области  $(r, z)$ , соответствующей сечению канала плоскостью  $\varphi = \text{const}$  (фиг. 1) [2, 4, 9]. Постановка задачи предполагает обычно непроницаемые эквипотенциальные электроды, т. е. обращение в нуль нормальной скорости и касательного электрического поля  $v_n = 0$ ,  $E_c = 0$ . На входе в канал ( $z = 0$ ) заданы плотность (или массовый расход) и давление втекающей плазмы, а также напряженность магнитного поля, соответствующая постоянной величине полного электрического тока  $J$  через систему.

Решение задачи о стационарном течении плазмы обычно находится методом установления.

Задача в такой постановке хорошо описывает течение в так называемом ядре потока [9] и в то же время не может служить моделью процессов в узких приэлектродных слоях. Более того, уравнения МГД не способны различить полярность электродов, так как они не меняются при одновременном изменении знаков магнитного поля  $H$  и тока  $j$  [1]. На этом основании часть исследований течения плазмы в канале опирается на более полную математическую модель, которая учитывает эффект Холла и по этой причине иногда называется холловской магнитной газодинамикой. Ее теоретические основы изложены в монографии [11] (см. также [3, 12]), постановка задачи о течениях плазмы с учетом эффекта Холла и первые результаты расчетов — в обзоре [2].



Фиг. 1

В расчетах хорошо видно, как ток отклоняется от радиального направления и по мере возрастания параметра обмена  $\xi$ , количественно характеризующего эффект Холла, стремится к скольжению вдоль электродов. В случаях, когда параметр  $\xi$  играет более заметную роль, чем магнитная вязкость  $\nu = 1/Re_m$ , течения вообще не устанавливаются, в расчетах наблюдается неустойчивость взрывного характера вблизи анода («анодные взрывы») [2]. В связи с этим результатом показано, что система двумерных МГД-уравнений с эффектом Холла в поперечном магнитном поле в случае бесконечной проводимости ( $\xi \neq 0$ ,  $\nu = 0$ ) при некоторых условиях может быть неэволюционной [2]. В работе [4] исследована роль граничных условий на электродах в формировании свойств течений: если вместо традиционного требования  $v_n = 0$  разрешить плазме протекать сквозь электроды, то, управляя этим протеканием, можно влиять на направление электрического тока в канале. Расчеты показали, что дополнительное втекание плазмы через анод и вытекание через катод оказывает действие, противоположное эффекту Холла, и потому в некоторых пределах может поддерживать квазирадиальное направление тока в холловских течениях. Этот результат лежит в основе концепции переноса электрического тока в канале ионами [1, 3].

Вопросы, оставшиеся открытыми после указанных работ и интересующие авторов в настоящее время, относятся к двум направлениям исследований: дальнейшие вариации и анализ граничных условий на электродах и соотношение классической и холловской МГД-моделей течения плазмы в канале и его отдельных частях. Следующим за этими исследованиями вопросом или, точнее, переключением с ними является тщательное моделирование тонких приэлектродных слоев, в котором возможны выходы за пределы гидродинамики или квазинейтральности. Отдельные работы на эту тему уже делались [13, 14].

В настоящей работе изложена МГД-модель плазмы с учетом эффекта Холла в применении к осесимметричным течениям в поперечном собственном магнитном поле в коаксиальном канале. В отличие от [4] в граничных условиях сохранена непроницаемость, а вместо эквипотенциальности требуется ортогональное распределение тока на стенках:  $j_r = 0$ . При этом подходе удастся рассчитать стационарные течения с квазирадиальным током при конечных значениях параметра обмена  $\xi$  и большой и даже бесконечной проводимости, однако боковые стенки канала при этом неэквипотенциальны. Такая модель имеет смысл при исследовании течений в каналах с секционированными электродами [3, 12], а в применении к современным плазменным ускорителям [5—9] описывает основную часть («ядро») потока плазмы в канале вне узких приэлектродных слоев. Указано расположение ядра потока относительно электродов и найдены поправки к основным интегральным характеристикам плазменного потока. Результаты расчетов и их сопоставление с экспериментами [7, 8] подтверждают вывод о том, что в

современном ускорителе холловские поправки малы и служат лишь для уточнения картины, полученной в традиционных МГД-расчетах.

1. МГД с учетом эффекта Холла. Рассматриваемая модель плазмы основана на модифицированных МГД-уравнениях [2, 4, 6], которые в безразмерной форме имеют вид:

$$\frac{\partial \rho}{\partial t} + \nabla(\rho v) = 0, \quad \rho \frac{dv}{dt} = -\nabla p + j \times H$$

$$\rho \frac{de}{dt} + \rho \nabla v = v^2 + \frac{\xi}{2} e(j, \nabla S) \quad (1.1)$$

$$\frac{\partial H}{\partial t} = \nabla \times (v \times H) - \nabla \times (vj) - \nabla \times \frac{j \times H - \nabla p_s}{\rho}$$

$$p = (\gamma - 1) \rho e = \frac{\beta}{2} \rho T = \frac{\beta}{2} \rho' e^S; \quad p_s = \frac{p}{2}; \quad j = \nabla \times H; \quad \frac{d}{dt} = \frac{\partial}{\partial t} + (v \nabla)$$

$$\beta_0 = \frac{8\pi p_0}{H_0^2}, \quad \xi = \frac{c}{e r_0} \frac{m_i}{\sqrt{4\pi \rho_0}}, \quad v = \frac{c^2}{4\pi \sigma r_0 v_{A0}} = v_0 T^{-3/2}, \quad v_{A0}^2 = \frac{H_0^2}{4\pi \rho_0}$$

Единицы измерения составлены из заданных на входе характерных значений плотности  $\rho_0 = m_i n_0$ , температуры  $T_0$ , магнитного поля  $H_0 = 2J/cr_0$  и среднего значения радиуса входного сечения канала  $r_0$ . Здесь  $J$  — полный разрядный ток.

Уравнения (1.1) содержат безразмерные параметры  $\beta$  — отношение газового давления на входе к магнитному и  $\xi$ , который количественно характеризует роль эффекта Холла в рассматриваемой модели. Он назван параметром обмена [2] локальным или модифицированным по аналогии с интегральным параметром обмена  $\xi_{tot}$  — отношением разрядного тока  $J$  к массовому расходу  $\dot{M}$ , выраженному в токовых единицах [1, 3]. Связь между ними, а также с известным безразмерным параметром  $\omega_e \tau_e$  [11, 12, 2] устанавливается формулами

$$\xi_{tot} = \frac{2\pi \xi}{M}, \quad \dot{M} = 2\pi \int_{r_1}^{r_2} \rho v_r r dr, \quad \omega_e \tau_e = \frac{\xi}{v} \frac{H}{\rho} \quad (1.2)$$

где  $\dot{M}$  — безразмерный массовый расход, а интеграл берется по отрезку  $r_1 \leq r \leq r_2$  между электродами. В модели участвует также конечная проводимость  $\sigma$ , а ее количественной характеристикой в уравнениях (1.1) является безразмерный коэффициент магнитной вязкости  $\nu = 1/Re_m$ .

Отличие холловской МГД-модели от классической — в третьем и четвертом уравнениях (1.1). Уравнение энергии получено сложением соответствующих уравнений для ионов и электронов в предположении равенства их температур  $T_i \equiv T_e \equiv T$ . Уравнение магнитной индукции следует из уравнения Максвелла  $\partial H/\partial t + \text{rot } E = 0$  и обобщенного закона Ома

$$vj = E + v \times H + \frac{\xi}{\rho} (\nabla p - j \times H) \quad (1.3)$$

Последний представляет собой уравнение движения электронной компоненты плазмы, если пренебречь в нем массой электрона  $m_e \approx 0$ .

В двумерных задачах об осесимметричном течении плазмы в собственном поперечном магнитном поле имеем (в цилиндрических координатах  $z, r$  и  $\varphi$ )

$$\frac{\partial}{\partial \varphi} \equiv 0, \quad v_\varphi \equiv 0, \quad H_z \equiv H, \quad j_r \equiv 0$$

и система (1.1) содержит пять уравнений с пятью неизвестными функциями. Уравнение индукции — скалярное, а холловское слагаемое в нем — вырожденное,

т. е. представляет собой нелинейную комбинацию первых (а не вторых в общем случае) производных

$$\nabla \times \frac{\mathbf{j} \times \mathbf{H} - \nabla p_e}{\rho} = \frac{\partial(Hr)}{\partial z} \frac{\partial}{\partial r} \left( \frac{H}{\rho r} \right) - \frac{\partial(Hr)}{\partial r} \frac{\partial}{\partial z} \left( \frac{H}{\rho r} \right) - \frac{1}{\rho^2} \left\{ \frac{\partial p_e}{\partial z} \frac{\partial \rho}{\partial r} - \frac{\partial p_e}{\partial r} \frac{\partial \rho}{\partial z} \right\}$$

Вследствие этого система уравнений (1.1) при  $v \neq 0$  — квазилинейная, параболически вырожденная, а при  $v \equiv 0$  — существенно нелинейная, и в этом ее специфика.

**2. Постановка задачи о расчете.** Задача о расчете течений состоит в решении уравнений (1.1) в области переменных  $(z, r)$  — сечении канала (фиг. 1). Начальные условия выбираются достаточно произвольно, поскольку основная цель — установившиеся течения, лишь бы они обеспечивали разгон плазмы в направлении оси  $z$ . Граничные условия зависят от учета конечной проводимости  $\sigma$  и от конкретных вариантов постановки задачи.

При  $\sigma \neq \infty$  ( $v \neq 0$ ) уравнение индукции требует граничного условия для магнитного поля  $H$  на всей границе расчетной области. Остальные условия относятся к гидродинамике и их число на каждой границе равно числу направленных внутрь области характеристических скоростей  $v_n$  (двукратная характеристика) и  $v_n \pm C_T$ , где  $C_T$  — газодинамическая скорость звука ( $C_T^2 = \gamma p / \rho$ ).

В случае бесконечной проводимости ( $v \equiv 0$ ) система (1.1) нелинейных уравнений первого порядка может быть неэволюционной, если  $\rho$  и  $H$  функционально независимы, а параметр  $\xi$  превосходит некоторые пределы, указанные самим решением [2]. В тех случаях, когда система эволюционна, она после линеаризации гиперболична и число граничных условий опять диктуется «входящими» характеристиками. При малых значениях параметра  $\xi$  они действительны и мало отличаются от характеристик классической МГД. Для любой границы области имеем пять характеристических скоростей в направлении по нормали к границе: возмущенные эффектом Холла скорости быстрого магнитного звука  $\lambda_{1,2} = v_n \pm C_m + \delta_{1,2}$ , где  $C_m^2 = C_T^2 + C_A^2 = \gamma p / \rho + H^2 / \rho$ , а  $\delta_{1,2}$  — холловские поправки; две скорости мало отличающиеся от скорости плазмы  $\lambda_{3,4} = v_n + \delta_{3,4}$  соответствуют переносу энтропии и магнитного поля (вмороженность); пятая скорость  $\lambda_5 = v_n$  соответствует переносу тангенциальной скорости  $v_z$  и не возмущается эффектом Холла. Поскольку в рассматриваемой модели электронная энтропия и магнитное поле (с точностью до термоЭДС  $\xi \nabla p_e / \rho$  в обобщенном законе Ома) вморожены в электронную компоненту плазмы [1], то отклонение характеристик  $\delta_3$  и  $\delta_4$  происходит от ионных траекторий в сторону электронных.

В обсуждаемых ниже расчетах трансзвукового течения плазмы в канале соплообразной формы граничные условия имеют следующий вид.

На входе в канал ( $z = 0$ ) заданы [2, 4, 9] плотность, давление и магнитное поле, а также направление:  $\rho = 1$ ,  $T = 1$ ,  $H = 1/r$ ,  $v_z/v_r = r_z$ , где  $r_z$  — наклон координатной линии, соответствующий форме канала. Эти условия предполагают дозвуковое втекание и справедливы как при конечной, так и бесконечной проводимости.

На выходе из канала ( $z = z_0$ ) течение предполагается сверхзвуковым, гидродинамических граничных условий нет, а для магнитного поля при  $v \neq 0$  задано условие типа  $\partial H / \partial z = 0$ , которое оказывает мало влияния на распределение тока в канале и потому исчезает при  $v \rightarrow 0$ . Подчеркнем, что эта «вольность» допустима в рассматриваемой задаче потому, что проводимость плазмы в ускорителях достаточно высока и  $v \ll 1$ .

Граничные условия на боковых стенках канала  $r = r_1(z)$  и  $r = r_2(z)$  — наиболее существенный элемент исследования холловских течений. Авторы работ [2, 4] исходили из того, что стенки являются эквипотенциальными электродами, поэтому акцент ставили на граничное условие  $E_z = 0$ , а разные условия их проницаемости

определяли режим токопереноса — электронный ( $v_n = 0$ ) или ионный ( $v_{ne} = 0$ , откуда следует  $\rho v_n = \xi j_n$ ). В настоящем исследовании сделана попытка получить стационарный режим течения с наиболее благоприятным распределением тока (т. е. квазирадиальным) и выяснить свойства такого течения. Предполагается, что поток ограничен траекториями, а вместо эквипотенциальности требуется ортогональность тока к границе

$$v_n = 0, \quad j_t = 0 \quad (2.1)$$

где  $\tau$  — направление вдоль боковой границы области.

В задаче с конечной проводимостью плазмы требования (2.1) и являются граничными условиями в соответствии с приведенными выше соображениями. В случаях очень высокой или даже идеальной проводимости нужно проследить, чтобы в предельном переходе  $v \rightarrow 0$  второе из условий (2.1) соответствовало бы тем же соображениям и не породило бы искусственного пограничного слоя. При  $v = 0$ ,  $v_n = 0$  и достаточно малом  $\xi$  одна из двух характеристических скоростей  $\lambda_1, \lambda_2$  направлена внутрь канала. Направление скоростей  $\lambda_3 = \delta_3, \lambda_4 = \delta_4$  соответствует, как сказано выше, электронным траекториям, поэтому они «входят» в канал со стороны катода и «выходят» на аноде. Значит, в предельном случае  $v = 0$  на катоде должно быть три граничных условия, а на аноде — только одно. На катоде условия (2.1) дополняются, например, условием  $\partial p / \partial n = 0$ , а на аноде остается только условие  $v_n = 0$ .

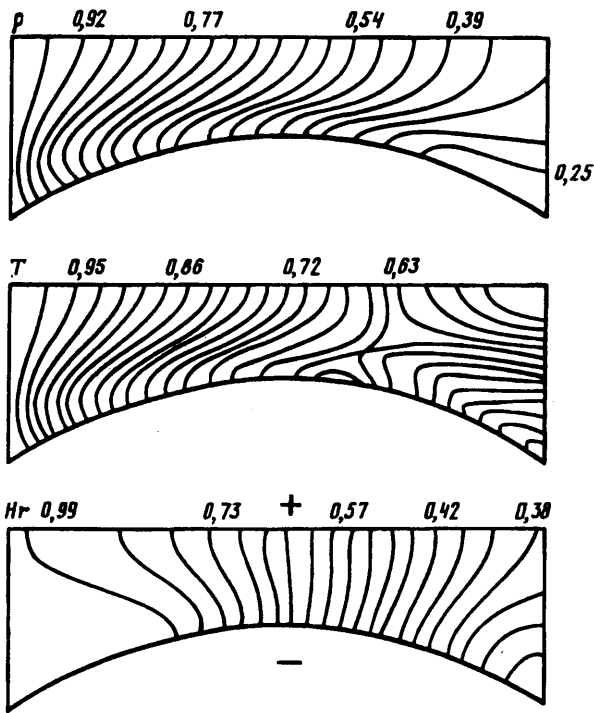
Чтобы сделать разностный алгоритм решения задачи замкнутым, недостающие уравнения на границе должны следовать из уравнений (1.1) и граничных условий. При этом можно использовать, например, перенос электронной энтропии и замороженной функции  $H/pr$  вдоль электронных траекторий. В расчете стационарных течений из уравнений (1.1) и условия  $v_n = 0$  следует  $\partial p / \partial n + H j_t = 0$ , что тоже удобно использовать в качестве недостающего уравнения на границе.

Заметим, однако, что при малых значениях  $\xi$  и при однородных по радиусу начальных данных указанные процедуры естественно создают нормальный ток на аноде (на катоде он задан!) и, таким образом, предельный переход  $v \rightarrow 0$  имеет естественный характер. К тому же расчеты с условиями (2.1) при конечных, но малых значениях  $v$  не обнаруживают никаких тенденций к образованию пограничного слоя на аноде.

Сформулированная задача решается численно с использованием относительно простых разностных методов, близких к изложенным в [2].

**3. Результаты и анализ расчетов.** Расчеты течения плазмы в данной модели проведены в канале ускорителя, геометрия которого близка к существующим экспериментальным установкам [7, 8]. Значение параметра  $\beta = 0,5$  соответствует умеренному разрядному току  $j \sim 150$  кА. Магнитная вязкость  $\nu$  и параметр обмена  $\xi$  в расчетах сознательно завышены, чтобы нагляднее почувствовать их влияние на результат. Расчеты показали, что при  $\xi = 0,1, \nu = 0,1$  в канале устанавливается стационарный режим течения с квазирадиальным распределением тока. Его параметры близки к параметрам течения в классической МГД-модели со сплошными эквипотенциальными электродами [9]. Этот результат оказался справедливым при обеих полярностях электродов и мало изменился при уменьшении  $\nu$  практически до нуля. Таким образом, найдены стационарные режимы течения с эффектом Холла в бесконечно проводящей плазме.

«Обойти» опасность неэволюционности задачи здесь удается за счет самоорганизации достаточно гладкого распределения решения по пространству, в том числе в результате гладких начальных данных и самосогласованных условий на входе. Холловские течения хорошо проводящей плазмы были получены также в [15] за счет большей свободы в граничных условиях на электродах. В [16] указан класс заведомо устойчивых стационарных течений с эффектом Холла, но этот класс совсем не включает взаимодействие плазмы с электродами.



Фиг. 2

Фигура 2 иллюстрирует расчеты примером стационарного распределения плотности, температуры и электрического тока (линии  $Hr = \text{const}$ ) в канале при указанных выше значениях параметров. Внешним отличительным признаком этого варианта расчета является только незначительный рост температуры вблизи конца центрального электрода (катода) вследствие джоулева нагрева, однако при сильном увеличении проводимости ( $\nu \rightarrow 0$ ) и этот признак исчезает, а температура все более воспроизводит политропическую зависимость  $T = \rho^{\gamma-1}$ . За исключением упомянутого джоулева нагрева, результаты очень мало чувствительны к магнитной вязкости  $\nu$ , поэтому в дальнейшем имеется в виду плазма бесконечной проводимости. Подчеркнем, что в процессе предельного перехода  $\nu \rightarrow 0$  расчеты в данной модели не обнаружили признаков какого-либо пограничного слоя у стенки канала.

Проявление эффекта Холла при разных полярностях электродов характеризует таблица, где представлены безразмерные максимальная скорость, массовый расход, напряжение и относительная величина тока выноса  $J_{ex}$  (характерное значение  $Hr$  на выходе) бесконечно проводящей плазмы в классической МГД ( $\xi = 0$ ) и в холловской при обеих полярностях электродов ( $I$  — полярность центрального электрода).

Анализ локальных характеристик течения показывает, что если катод в центре, то вследствие эффекта Холла поток ведет себя менее однородно — увеличивается неоднородность в распределении плотности и скорости по радиусу, скорость на входе и плотность на выходе несколько меньше, чем в МГД, отсюда уменьшение расхода  $\dot{M}$  и напряжения  $U$  и возрастание скорости на выходе у центрального электрода (здесь достигается  $v_{\text{max}}$ ), указанные в таблице. В случае, когда внутренний электрод — анод, наблюдается противоположная тенденция: поток становится более однородным, расход и напряжение увеличиваются, скорость

$I$	$\xi$	$v_{\max}$	$\dot{M}$	$U$	$J_{ex}$
—	0,1	1,95	3,21	0,42	0,35
	0	1,98	3,31	0,44	0,33
+	0,1	1,80	3,50	0,47	0,29

$v_{\max}$  уменьшается. В первом случае несколько увеличивается, а во втором уменьшается доля тока выноса.

Придавая приведенным результатам физический смысл и сопоставляя их с экспериментами, следует иметь в виду, что в соответствии с данными таблицы  $\xi_{tot} \approx 0,2$ .

Установившиеся течения получены в расчетах и при больших значениях  $\xi$ , но их физический смысл уже менее интересен. В серии расчетов при  $v_0 = 0,1$  неустойчивости проявились лишь при  $\xi \sim 1$ . Им предшествуют при положительной полярности центрального электрода предварительное уплотнение и замедление потока, а при отрицательной — разрежение.

Основное отличие полученных течений от рассмотренных ранее [2, 4] состоит в том, что боковые стенки канала неэквипотенциальны. Действительно, из обобщенного закона Ома (1.3) и граничных условий (2.1) следует, что электрическое поле вдоль границы имеет вид

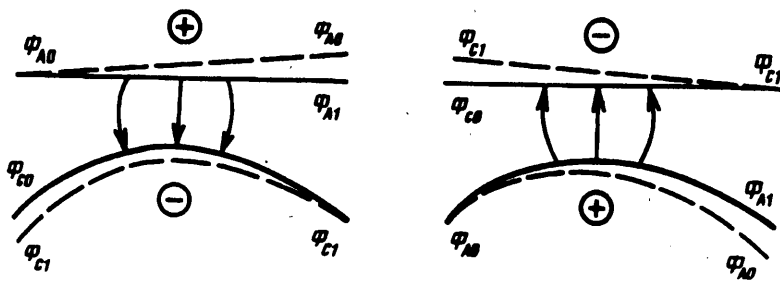
$$E_{\tau} = \frac{\xi}{\rho} \left( H j_n - \frac{\partial p_e}{\partial \tau} \right), \quad j_n = - \frac{\partial H r}{r \partial \tau} \quad (3.1)$$

где  $\tau$  — тангенциальное направление вдоль границы слева направо, а  $n$  — нормаль, направленная снизу вверх (т. е. положительные направления  $\tau$  и  $n$  образуют острые углы с осями  $z$  и  $r$  соответственно (см. фиг. 1)). Из (3.1) следует, что, поскольку в стационарном течении с током квазирадиального направления величины  $H$  и  $j_n$  одного знака, а давление убывает вдоль канала, на обеих границах  $E_{\tau} > 0$ , т. е. электрическое поле участвует в ускорении ионов. В результате электрический потенциал  $\Phi$  убывает вдоль границ по закону

$$\Phi = \Phi_0 - \int E_{\tau} d\tau \quad (3.2)$$

где индекс ноль соответствует входному сечению  $z = 0$ , а поле (3.1) интегрируется вдоль границы.

Простейшее толкование полученного результата состоит в том, что добиваться оптимального режима ускорения плазмы в канале с квазирадиальным током можно, применяя секционированные по длине электроды [3, 12] и распределяя напряжение между секциями в соответствии с рассчитанным потенциалом (3.2). Однако в современных плазменных ускорителях [5—9] электроды (или играющие их роль более сложные устройства — трансформеры) содержат в основе своей продольные металлические конструкции и их естественно считать эквипотенциальными. Отсюда следует другое возможное толкование изложенного выше результата. Полученный в расчете стационарный режим течения относится не ко всему потоку плазмы в канале, а лишь к его основной части — ядру потока [9], ограниченному траекториями, а не электродами. Расположение его относительно эквипотенциальных электродов схематически изображено на фиг. 3 для обоих вариантов их полярности. Сплошные линии — границы рассчитанного ядра потока, а штриховые — эквипотенциали, между которыми заключено это ядро, т. е. электроды. Такое расположение подсказано тем, что потенциал (3.2) всегда монотонно убывает вдоль сплошных границ. Схема на фиг. 3 напоминает эпюру течения плазмы в режиме ионного токопереноса [1, 3], который имеет здесь место, строго говоря, в предельном случае бесконечной проводимости ( $\nu \rightarrow 0$ ) и



Фиг. 3

сильного тока ( $\beta \rightarrow 0$ ): при этих условиях обобщенный закон Ома (1.3) можно переписать в виде  $\mathbf{E} + (\mathbf{v}_e \times \mathbf{H}) = 0$ , где  $\mathbf{v}_e = \mathbf{v} - \xi \mathbf{j} / \rho$ , откуда следует, что электрическое поле  $\mathbf{E} = -\nabla\Phi$  ортогонально скорости электронов  $\mathbf{v}_e$ , т. е. эквипотенциальные электроды совпадают с электронными траекториями, а ток между ними переносится ионами.

Высокоэнергичным потокам современного сильноточного ускорителя соответствуют значения  $v \ll 1$  и  $\beta \ll 1$  и режим ионного токопереноса реализуется [7—9]. Для тех же потоков  $\xi \ll 1$ , откуда следует, что эффект Холла не сильно влияет на характер течения и обязанное ему отклонение ядра потока от всего межэлектродного пространства невелико. Количественные характеристики этого отклонения и связанные с ним поправки к параметрам течения можно оценить, используя результаты указанных выше расчетов.

Падение потенциала вдоль границы потока находится с помощью (3.2)

$$\delta U_{A,C} = \Phi_{A1,C1} - \Phi_{A0,C0} = - \int_{A0,C0}^{A1,C1} E_{\tau} d\tau \quad (3.3)$$

где индексы  $A$  и  $C$  соответствуют аноду и катоду, а  $0$  и  $1$  — левой и правой границам канала.

Отклонение границ потока  $\delta r_{A,C}$  от электродов  $r_{A,C}$  приближенно оценивается при малых значениях  $\xi$ , если пренебречь, как и выше, различием между электронными траекториями и эквипотенциалами

$$\delta r_{A,C} \approx \int_{A,C} |\alpha| d\tau \quad (3.4)$$

и исходить из того, что угол между траекториями ионов и электронов равен

$$\alpha \approx \frac{|v_e - v|}{|v|} = -\xi \frac{j_n}{\rho v_e} = \frac{\xi}{\rho v_e} \frac{\partial H r}{r \partial \tau} \quad (3.5)$$

где значения  $\rho$ ,  $v_e$  и  $H$  взяты из расчета потока на границах.

В том же приближении определяются поправки к массовому расходу, связанные с несовпадением рассчитанной области ядра потока и пространства между электродами. Эти поправки могут быть разными во входном и выходном сечениях канала: первая равна массе плазмы, вытекающей из канала через катод, вторая — втекающей через анод за единицу времени (фиг. 3)

$$\delta \dot{M}_0 = \delta \dot{M}_C \approx \rho_{C0} v_{C0} 2\pi r_{C0} \delta r_{C0} \quad (3.6)$$

$$\delta \dot{M}_1 = \delta \dot{M}_A \approx \rho_{A1} v_{A1} 2\pi r_{A1} \delta r_{A1}$$

Оценка (3.6) для  $\delta \dot{M}_A$ , по-видимому, завышена, так как она предполагает, что плазма втекает через анод с продольной скоростью, соизмеримой со скоростью основного потока.



В применении к величинам  $U$  и  $\dot{M}$  в таблице и геометрии канала на фиг. 2 имеем на внутреннем электроде любой полярности  $\delta U_{in} \approx -0,17$ , на внешнем  $\delta U_{ex} \approx -0,05$ . Они согласуются с законом сохранения энергии, из которого приближенно следует, что  $\delta U \approx -1/2 \xi v_{max}^2$  вдоль каждой траектории (скорость у центрального электрода вдвое выше, чем у внешнего). Усредняя закон сохранения по всем траекториям канала, отсюда можно получить относительную величину падения напряжения на траектории

$$|\delta U_{cp}| = \xi_{tot} \eta U \quad (3.7)$$

где  $\eta$  — коэффициент полезного действия ускорителя (см. [1, с. 11]). Формула (3.7) может быть полезна для оценки КПД. Отклонение границ потока от электродов также не зависит от полярности:  $\delta r_{in} \approx 0,3$ ,  $\delta r_{ex} \approx 0,09$ . Поправки к расходу массы:  $\delta \dot{M}_c \approx 0,1$ , если катод в центре (малая скорость втекания вблизи центрального электрода малого радиуса),  $\delta \dot{M}_c \approx 0,4$ , если он снаружи. На аноде  $\delta \dot{M}_a \approx 0,35$  при обеих полярностях.

Приведенный пример относительно выпукло иллюстрирует эффект Холла, поскольку параметры  $\beta, v_0$  и  $\xi$  сознательно выбраны завышенными. Если обратиться к экспериментальным данным [8], то здесь даже не самому сильноточному ( $J \approx 250$  кА) режиму работы ускорителя с центральным катодом соответствуют значения  $\beta = 0,1$ ,  $\xi = 0,017$  и  $\xi_{tot} = 0,065$ . Рассчитанная по этим данным картина течения оказалась еще ближе к классической МГД-модели и холловские поправки (3.3), (3.4), (3.6) — на порядок меньше, чем в рассмотренном примере. Поэтому МГД-расчеты такого течения [9] достаточно обоснованно описывают основные свойства и параметры явления.

Таким образом, предложенная МГД-модель, учитывающая эффект Холла в канале плазменного ускорителя с граничными условиями (2.1), позволяет рассчитать стационарное течение хорошо проводящей плазмы с квазирадиальным распределением тока. Решение задачи следует отнести к ядру потока, как указано в статье [9], но с неэквипотенциальными границами. Это ядро повернуто относительно электродов на угол порядка параметра обмена  $\xi$ . В частности, холловское отклонение тока от радиального направления происходит здесь одновременно с отклонением потока от осевого направления (фиг. 3) и по этой причине не проявляется на фиг. 2. Поправки первого приближения (3.3), (3.4), (3.6) дают количественные характеристики роли эффекта Холла, в частности приэлектродного падения потенциала, указывают место ядра потока во всем пространстве канала и в целом должны уточнить сопоставление расчетов с экспериментами, предпринятое в статье [9].

Авторы глубоко признательны А. И. Морозову, В. В. Савельеву и А. П. Шубину, с которыми неоднократно и плодотворно обсуждались разные этапы этой работы.

Работа выполнена при поддержке Международного научного фонда (Грант МЗХ000).

#### СПИСОК ЛИТЕРАТУРЫ

1. Морозов А. И., Соловьев Л. С. Стационарные течения плазмы в магнитном поле // Вопросы теории плазмы / Под ред. М. А. Леонтовича. М.: Атомиздат, 1974. Вып. 8. С. 3—87.
2. Брушлинский К. В., Морозов А. И. Расчет двумерных течений плазмы в каналах // Вопросы теории плазмы / Под ред. М. А. Леонтовича. М.: Атомиздат, 1974. Вып. 8. С. 88—163.
3. Морозов А. И. Физические основы космических электрореактивных двигателей. Т. 1. М.: Атомиздат, 1978. 326 с.

4. *Брушлинский К. В., Морозов А. И., Савельев В. В.* Некоторые вопросы течений плазмы в канале магнитоплазменного компрессора//Двумерные численные модели плазмы/Под ред. К. В. Брушлинского. М.: Ин-т прикл. математики им. М. В. Келдыша АН СССР, 1979. С: 7—66.
5. *Морозов А. И.* Принципы коаксиальных (квази)стационарных плазменных ускорителей (КСПУ)//Физика плазмы. 1990. Т. 16. Вып. 2. С. 131—146.
6. *Брушлинский К. В., Заборов А. М., Козлов А. Н.* Численное моделирование течений плазмы в КСПУ//Физика плазмы. 1990. Т. 16. Вып. 2. С. 147—157.
7. *Асташинский В. М., Маньковский А. А., Минько Л. Я., Морозов А. И.* Исследование физических процессов, обуславливающих режим работы КСПУ//Физика плазмы. 1992. Т. 18. Вып. 1. С. 90—98.
8. *Валков Я. Ф., Кулик Н. В., Маринин В. В. и др.* Анализ параметров потоков плазмы, генерируемых полноблочным КСПУ X-50//Физика плазмы. 1992. Т. 18. Вып. 11. С. 1392—1402.
9. *Брушлинский К. В., Горшенин К. П.* Расчеты МГД-течений в каналах и их соотношение с экспериментальными исследованиями плазменных ускорителей//Физика плазмы. 1993. Т. 19. Вып. 5. С. 682—698.
10. *Брушлинский К. В., Горшенин К. П., Сыцько Ю. И.* Математические модели стационарных МГД-течений в каналах плазменных ускорителей//Математическое моделирование. 1991. Т. 3. № 10. С. 3—19.
11. *Куликовский А. Г., Любимов Г. А.* Магнитная гидродинамика. М.: Физматгиз, 1962.
12. *Ватажин А. Б., Любимов Г. А., Регирер С. А.* Магнитогидродинамические течения в каналах. М.: Наука, 1970. 672 с.
13. *Валков Ю. А., Морозов А. И.* Структура приэлектродного дрейфового слоя. Численная модель//Письма в ЖТФ. 1981. Т. 7. Вып. 18. С. 1102—1106.
14. *Брушлинский К. В.* Динамика электронов и ионов в приэлектродном слое плазмы//Тр. Всесоюз. конф. «Нелинейные явления», М., 1989. М.: Наука, 1991. С. 3—8.
15. *Брушлинский К. В., Козлов А. Н., Морозов А. И.* Численное исследование двумерных течений плазмы и ионизирующегося газа методом пробных частиц//Физика плазмы. 1985. Т. 11. Вып. 11. С. 1358—1367.
16. *Holm D. D.* Hall magnetohydrodynamics: Conservation laws and Lyapunov stability//Phys. Fluids. 1987. V. 30. № 5. P. 1310—1322.

Москва

Поступила в редакцию  
20.V.1994